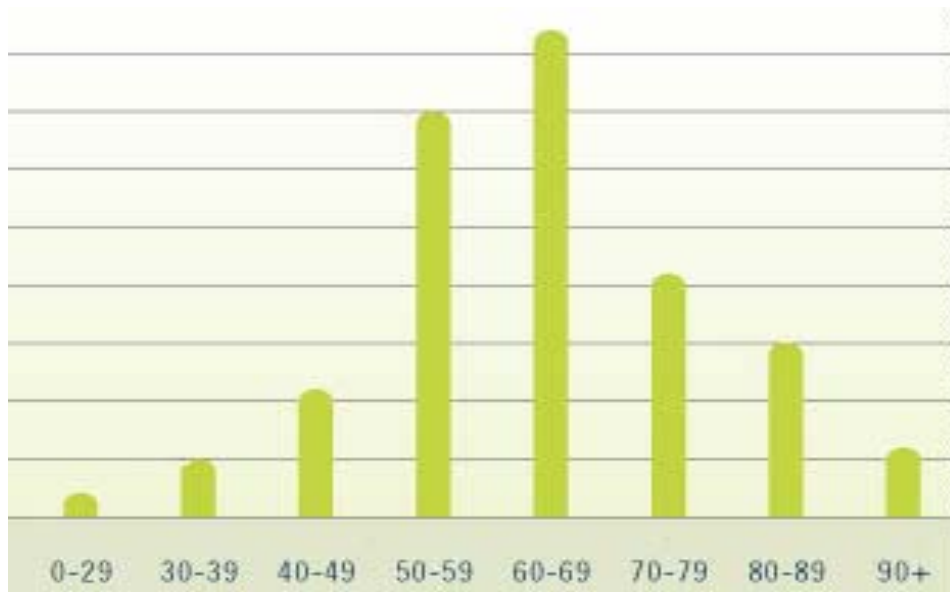


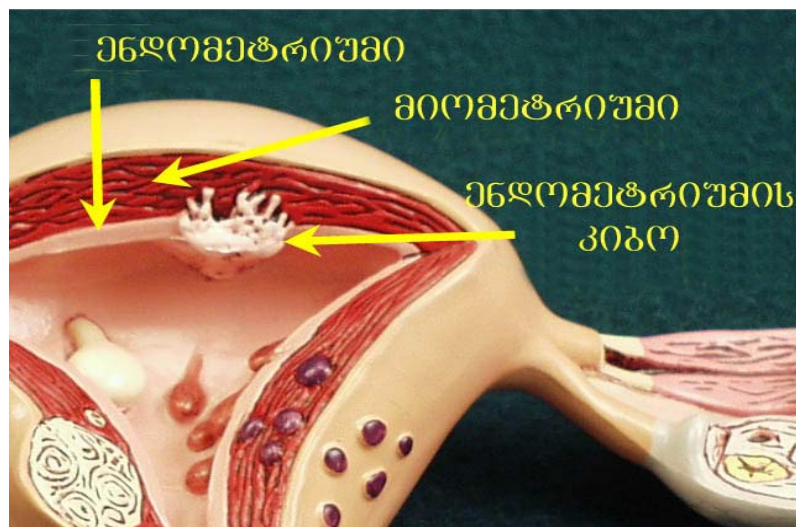
სურ. 2. საშვილოსნოს აგებულება [9]



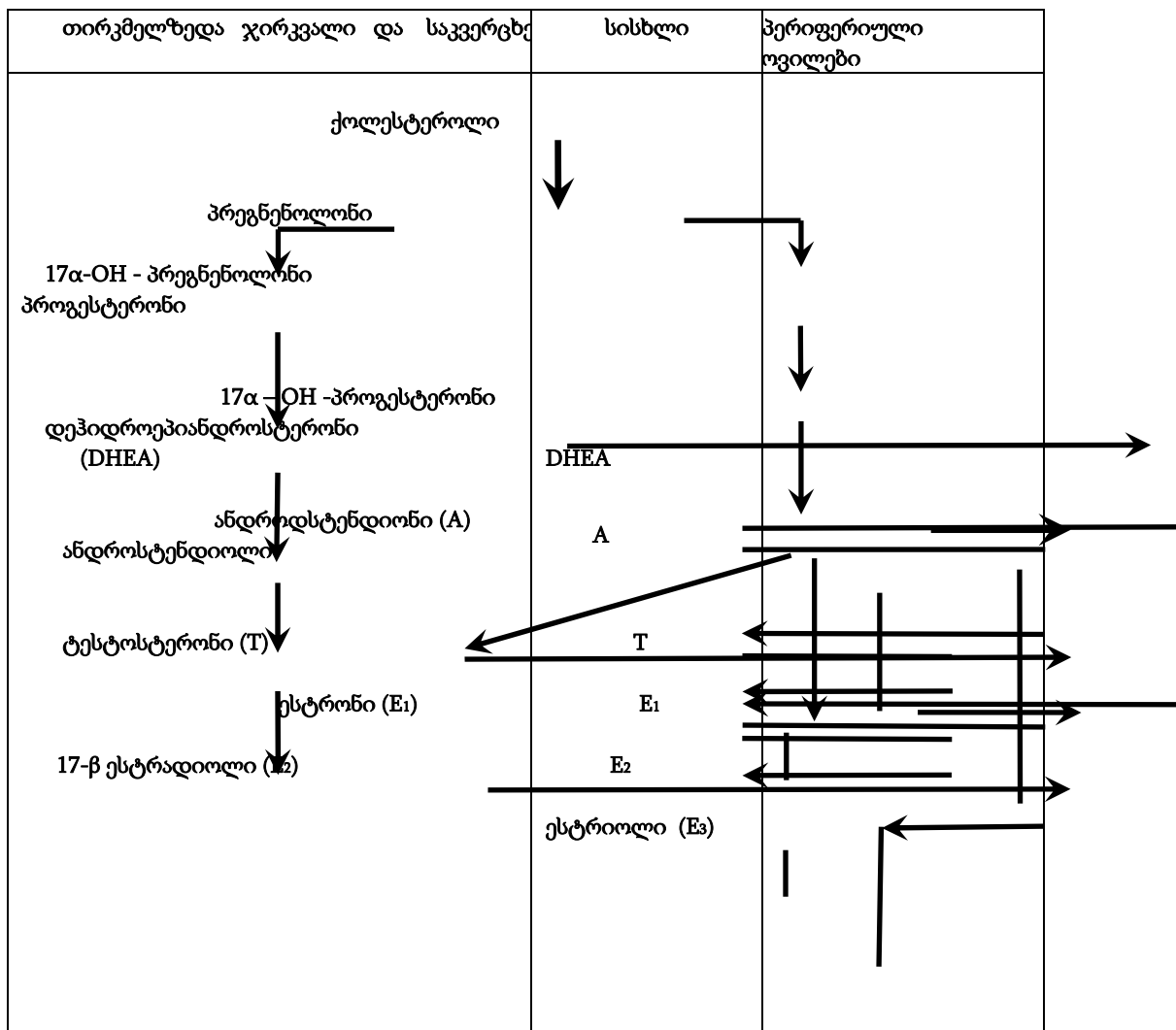
სურ. 3 მიომური კვანძების ძირითადი ტიპები [24]



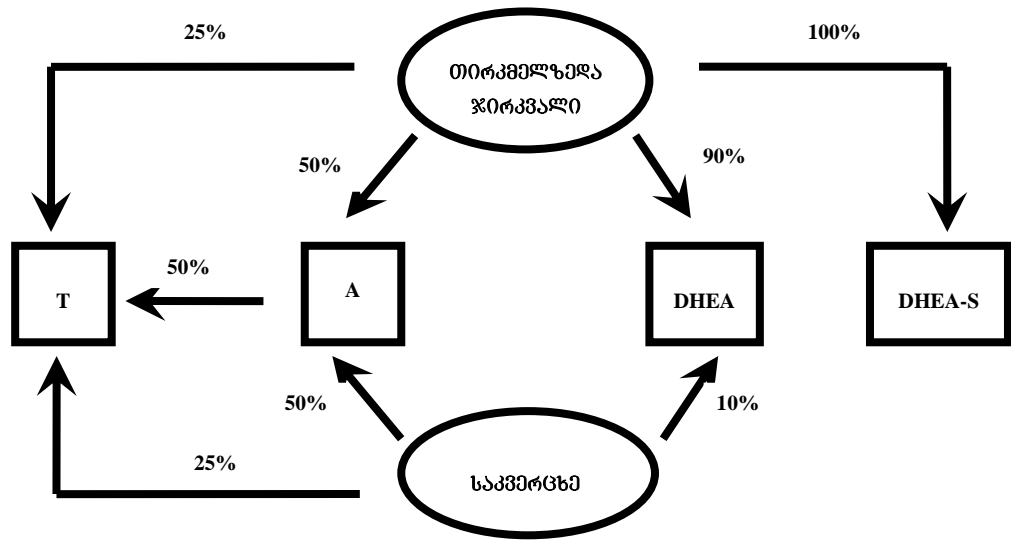
სურ. 4 საშვილოსნოს ტანის ავთვისებიანი სიმსივნით დაავადების სიხშირის ასაკობრივი დინამიკა [26]



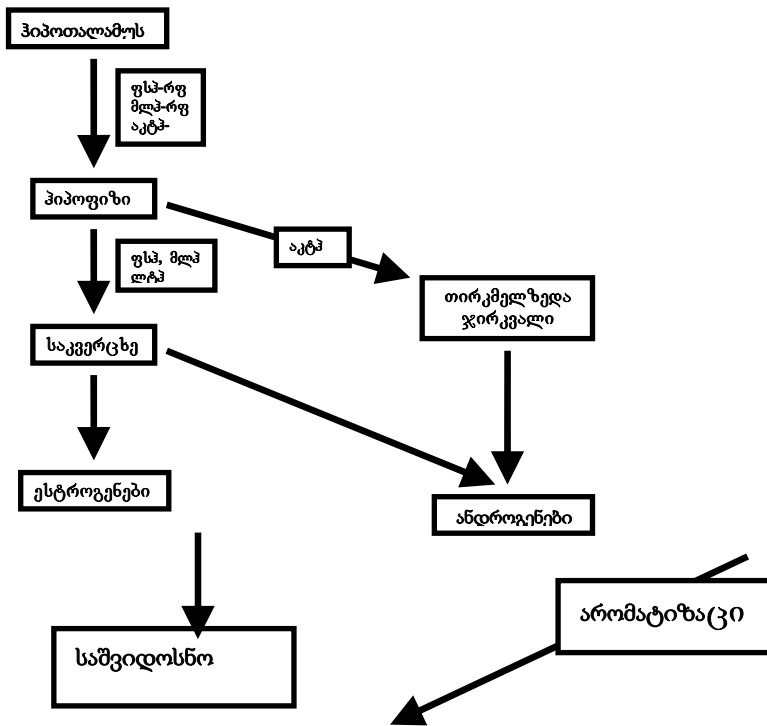
სურ. 5 საშვილოსნოს ტანის ავთვისებიანი სიმსივნე
ენდომეტრიუმის კიბო [32]



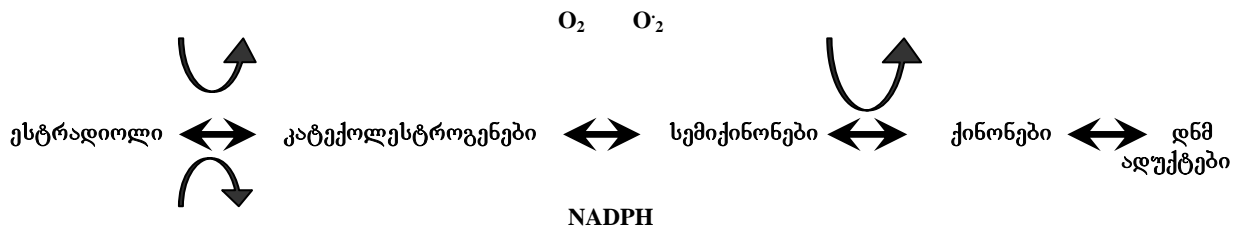
სურ.6 ანდროგენების ესტროგენებად გარდაქმნის ძირითადი გზები [43]



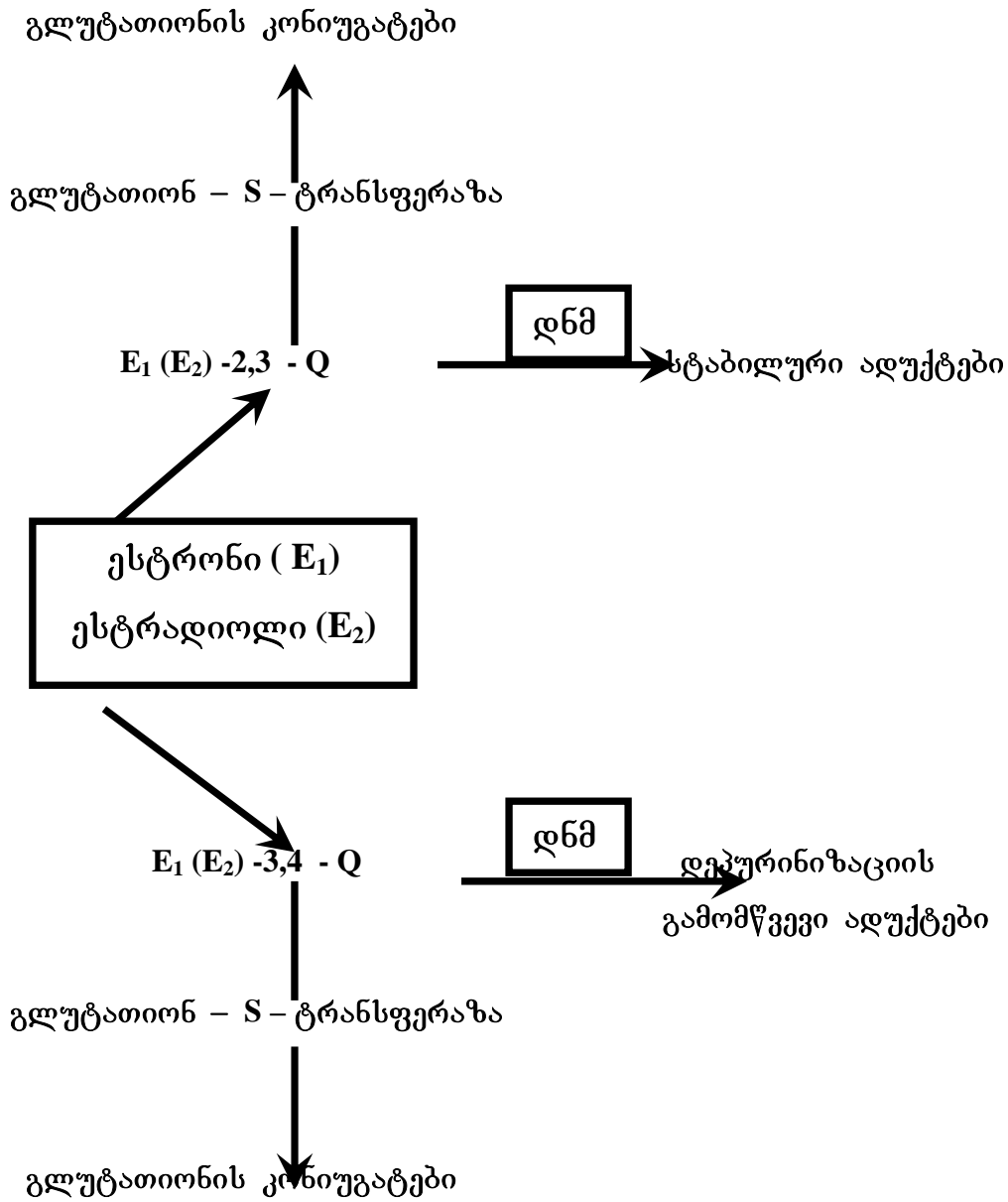
სურ.7 საკვერცხეს და თირკმელზედა ჯირკვლის ქერქის როლი ანდროგენების დღიურ პროდუქციაში [49]



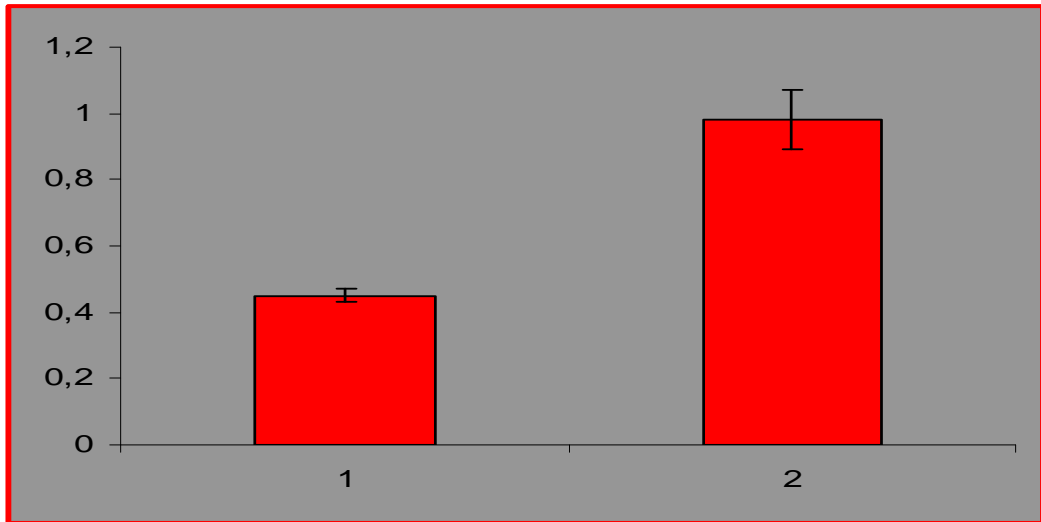
სურ.8 ესტროგენებით საშვიდოსნოს სტიმულაციის გზები [47]



სურ.9 ესტროგენების მეტაბოლური აქტივაციის ციკლი [58]

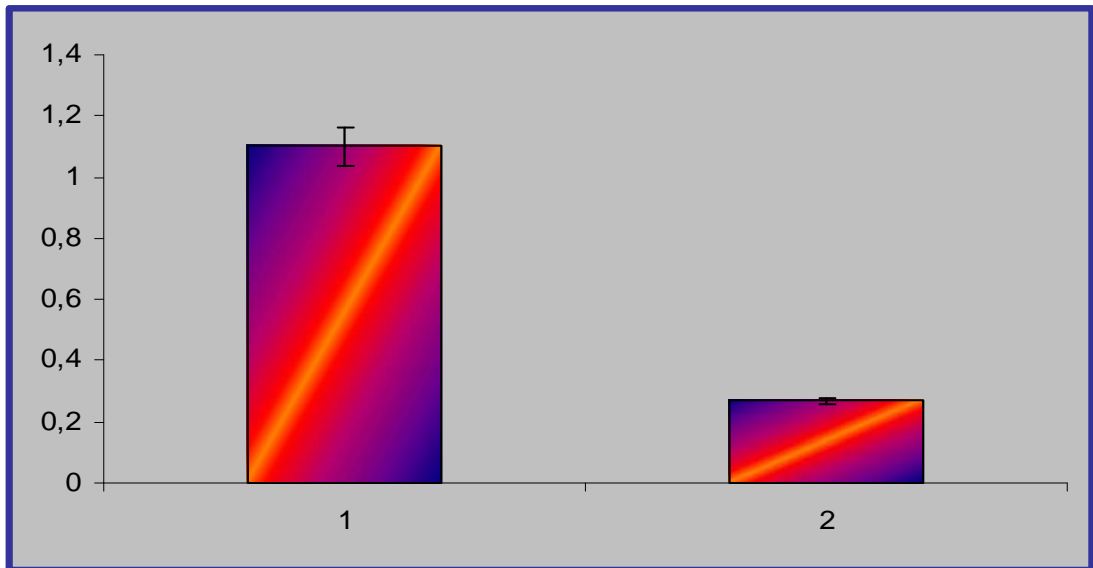


სურ.10 დნმ-ის აღუქტების ტიპები [60]



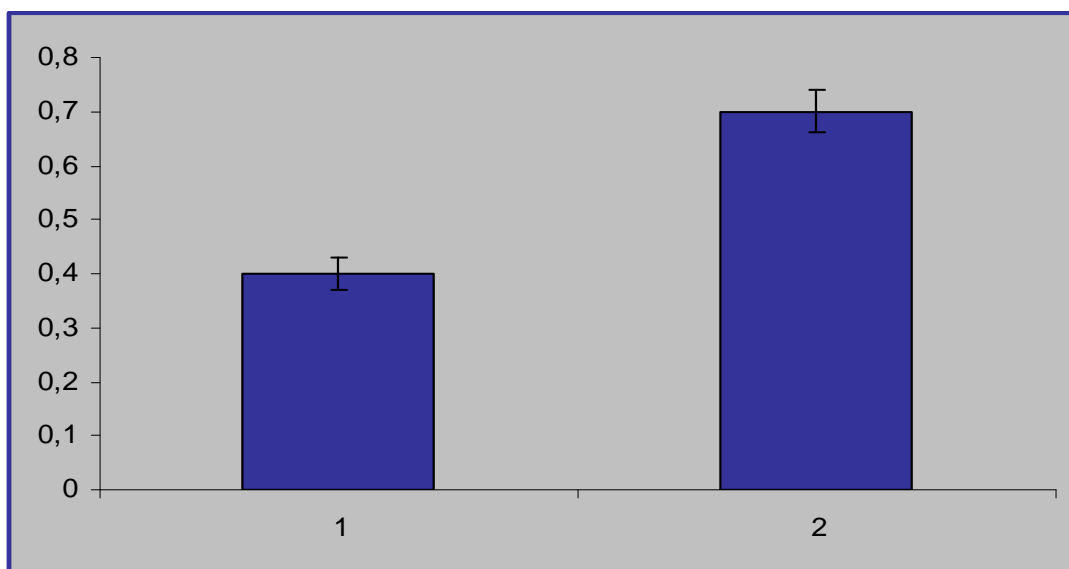
სურ. 11 ესტრადიოლის რაოდენობრივი ცვლილება საშვილოსნოს ტანის კეთილთვისებიანი სიმსივნის შემთხვევაში

1. საკონტროლო ჯგუფი
2. საშვილოსნოს ტანის კეთილთვისებიანი სიმსივნე



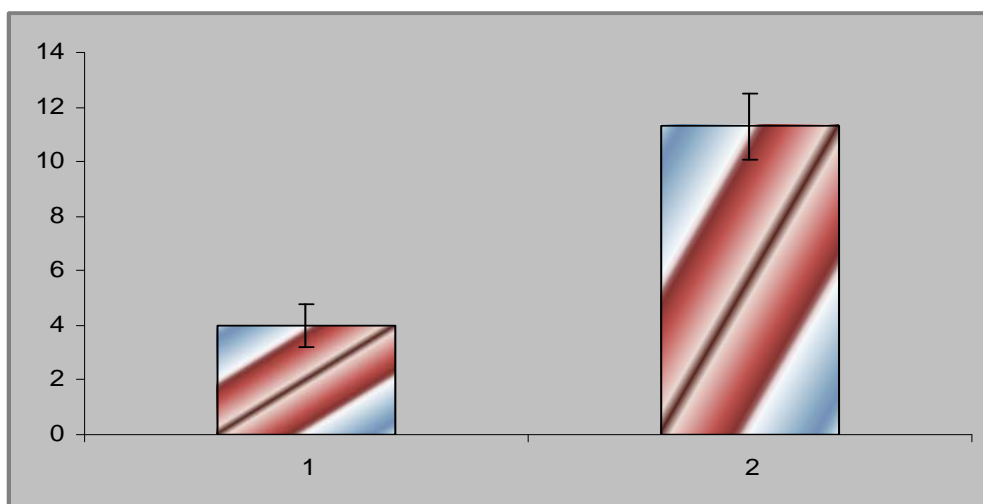
სურ. 12 პროგესტერონის რაოდენობრივი ცვლილება საშვილოსნოს ტანის კეთილთვისებიანი სიმსივნის შემთხვევაში

1. საკონტროლო ჯგუფი
2. საშვილოსნოს ტანის კეთილთვისებიანი სიმსივნე



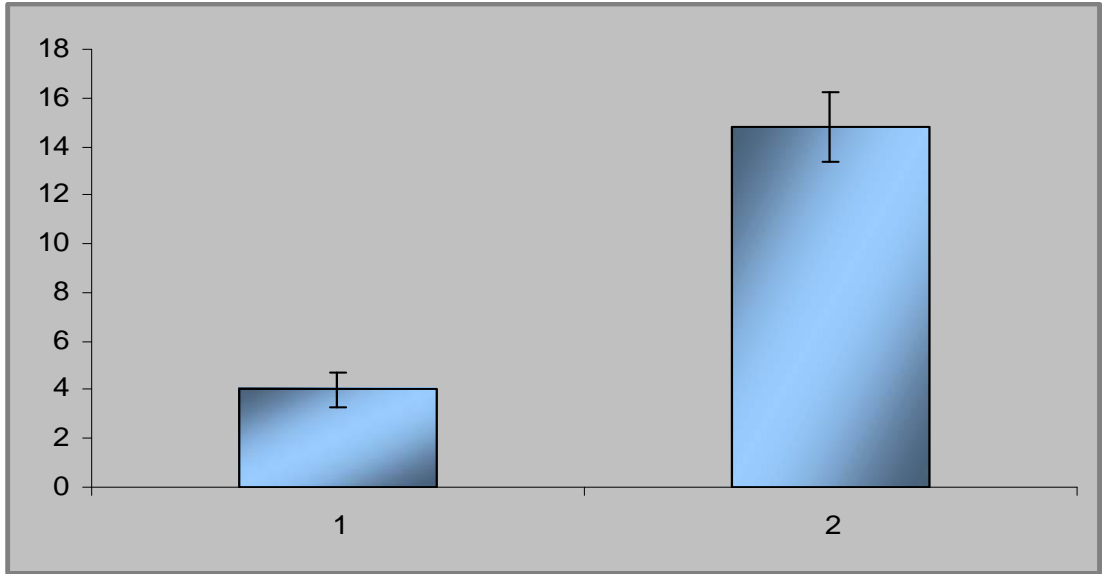
სურ. 13 ტესტოსტერონის რაოდენობრივი ცვლილება საშვილოსნოს ტანის კეთილთვისებიანი სიმსივნის შემთხვევაში

1. საკონტროლო ჯგუფი
2. საშვილოსნოს ტანის კეთილთვისებიანი სიმსივნე



სურ. 14 ფოლიკულომასტიმულირებელი ჰორმონის რაოდენობრივი ცვლილება საშვილოსნოს ტანის კეთილთვისებიანი სიმსივნის შემთხვევაში

1. საკონტროლო ჯგუფი
2. საშვილოსნოს ტანის კეთილთვისებიანი სიმსივნე

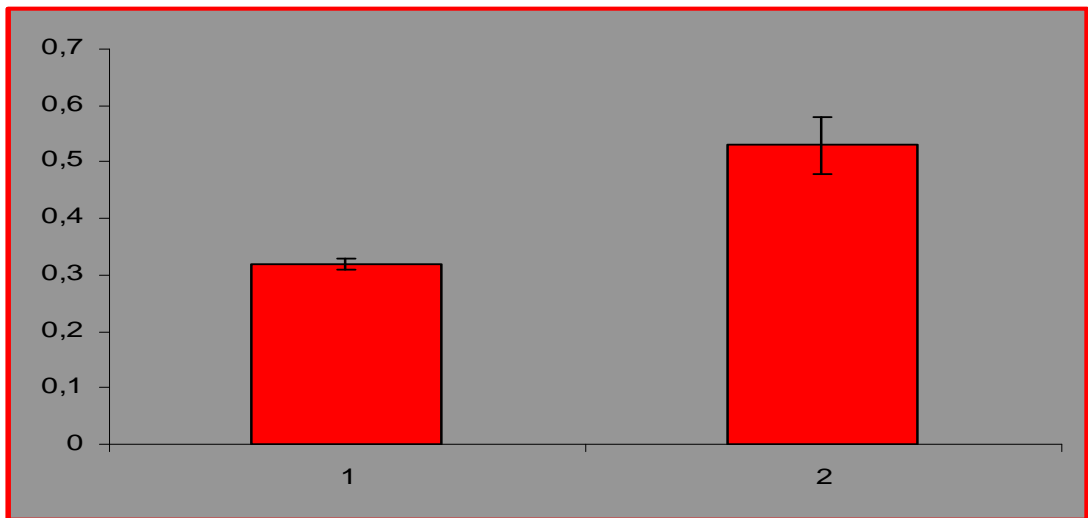


სურ. 15 მალუთეინიზებული ჰორმონის რაოდენობრივი ცვლილება საშვილოსნოს ტანის

კეთილთვისებიანი სიმსივნის შემთხვევაში

1. საკონტროლო ჯგუფი

2. საშვილოსნოს ტანის კეთილთვისებიანი სიმსივნე

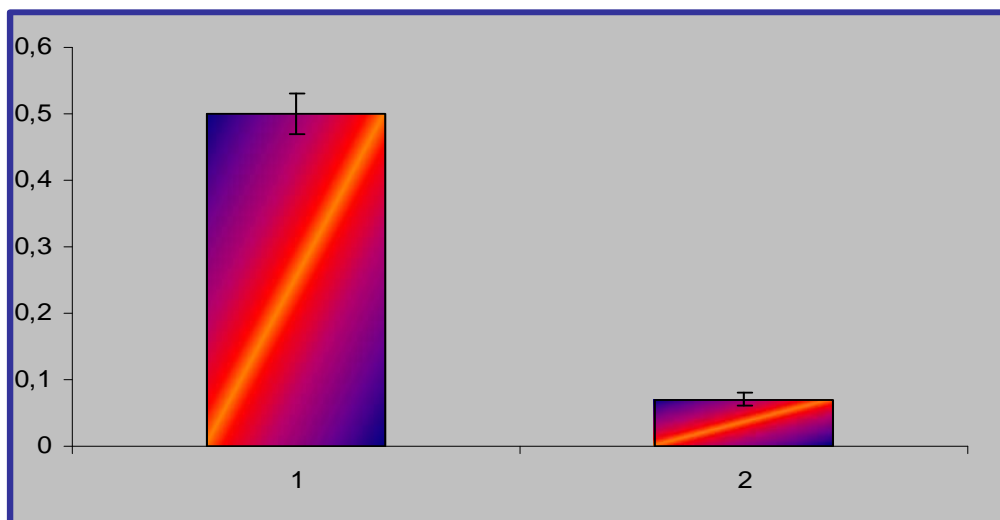


სურ. 16 ესტრადიოლის რაოდენობრივი ცვლილება საშვილოსნოს ტანის

ავთვისებიანი სიმსივნის შემთხვევაში

1. საკონტროლო ჯგუფი

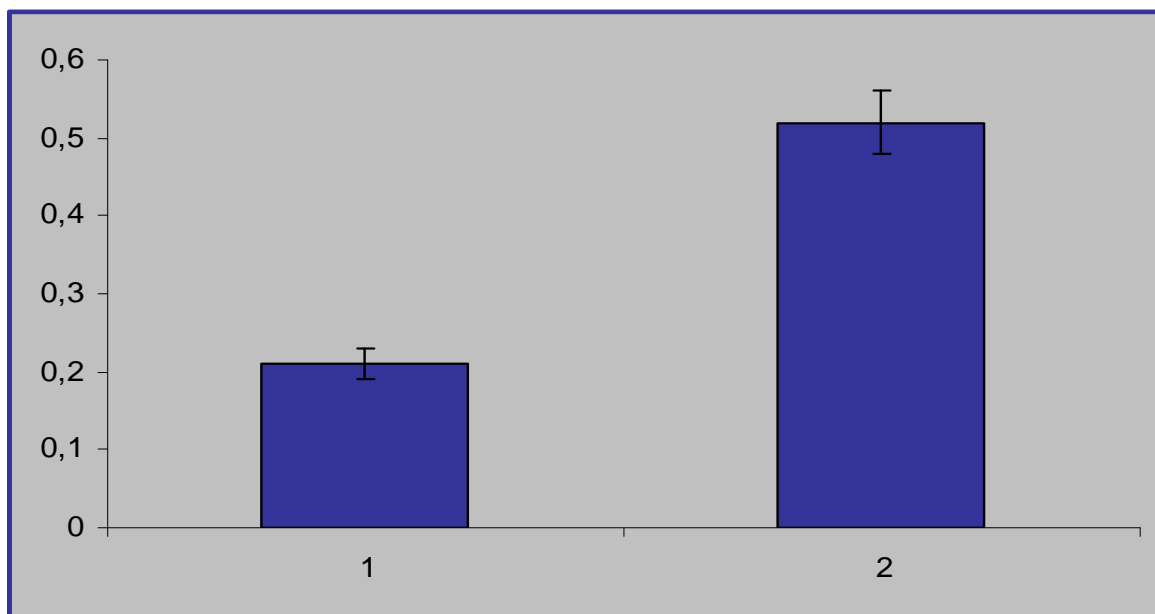
2. საშვილოსნოს ტანის ავთვისებიანი სიმსივნე



სურ. 17 პროგესტერონის რაოდენობრივი ცვლილება საშვილოსნოს ტანის ავთვისებიანი სიმსივნის შემთხვევაში

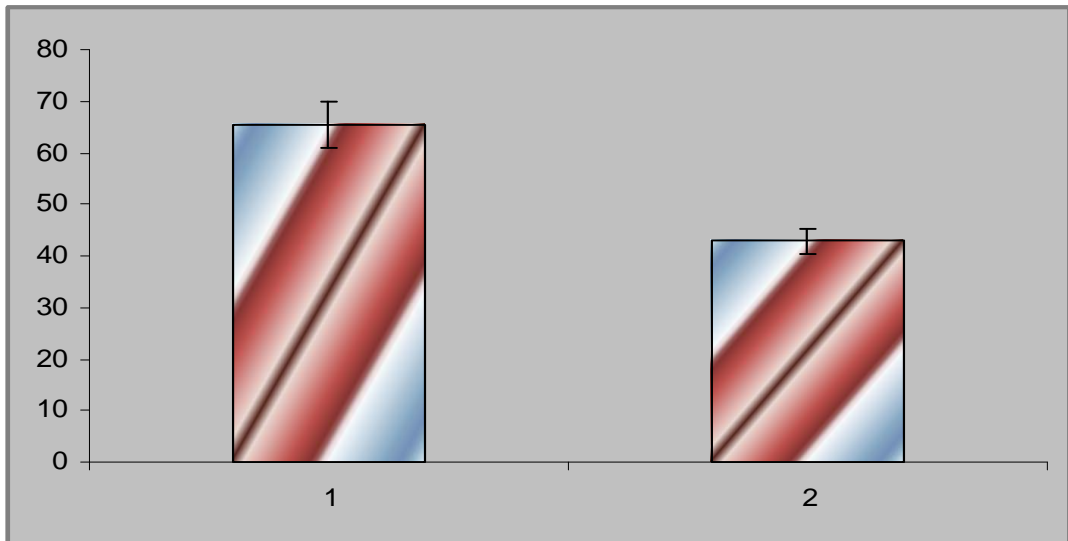
1. საკონტროლო ჯგუფი

2. საშვილოსნოს ტანის ავთვისებიანი სიმსივნე



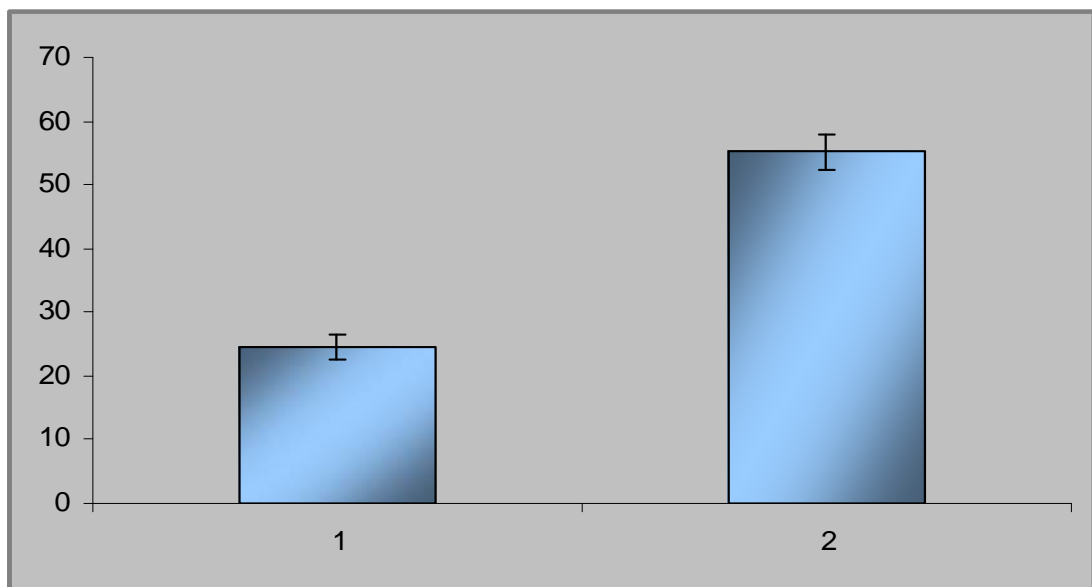
სურ. 18 ტესტოსტერონის რაოდენობრივი ცვლილება საშვილოსნოს ტანის ავთვისებიანი სიმსივნის შემთხვევაში

1. საკონტროლო ჯგუფი
2. საშვილოსნოს ტანის ავთვისებიანი სიმსივნე



სურ. 19 ფოლიკულომასტიმულირებელი ჰორმონის რაოდენობრივი ცვლილება საშვილოსნოს ტანის ავთვისებიანი სიმსივნის შემთხვევაში

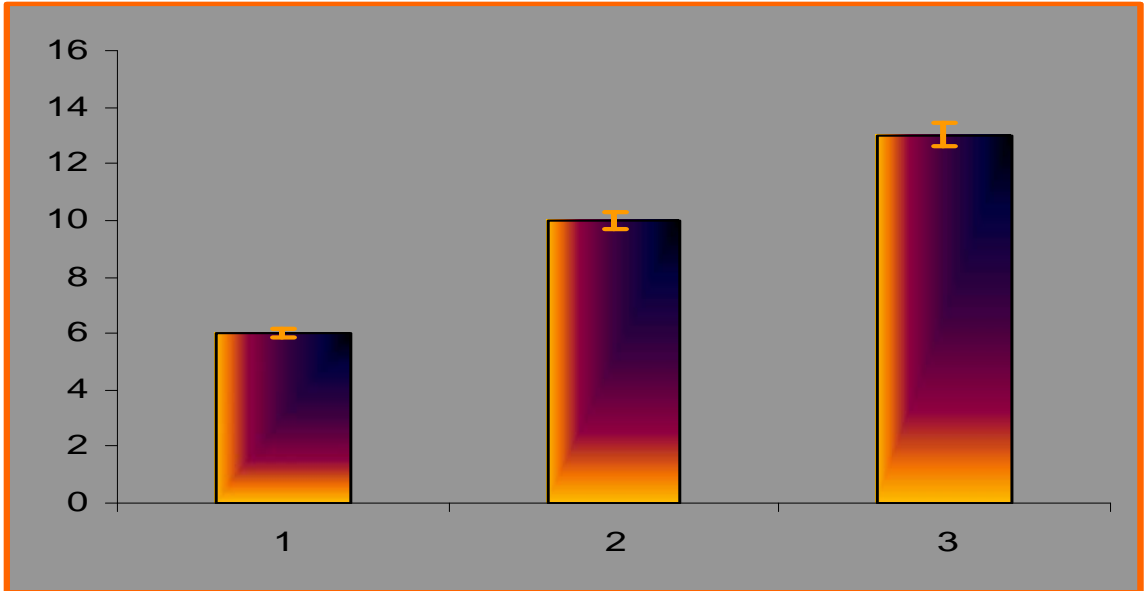
1. საკონტროლო ჯგუფი
2. საშვილოსნოს ტანის ავთვისებიანი სიმსივნე



სურ. 20 მალუთეინიზებელი ჰორმონის რაოდენობრივი ცვლილება საშვილოსნოს ტანის ავთვისებიანი სიმსივნის შემთხვევაში

1. საკონტროლო ჯგუფი

2. საშვილოსნოს ტანის ავთვისებიანი სიმსივნე

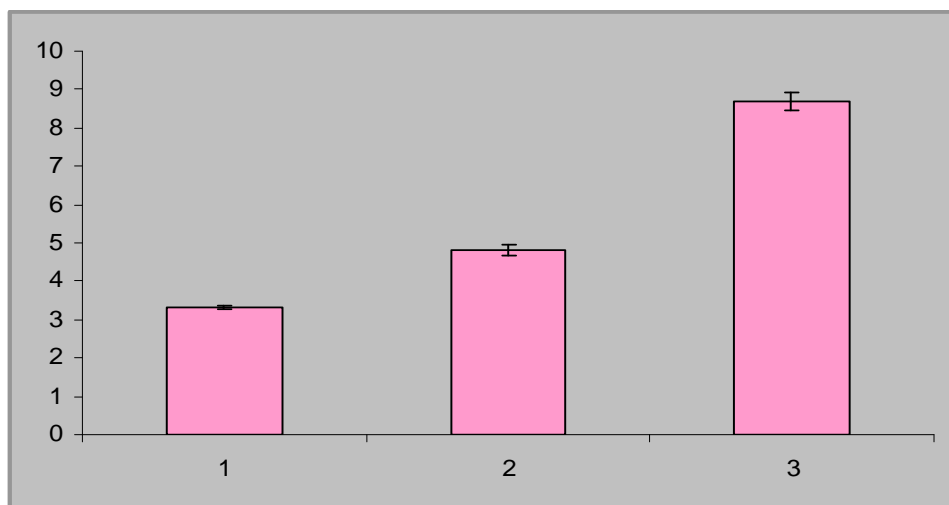


სურ. 21 ლიპიდების ზეჟანგური ჟანგვის ინტენსივობის ცვლილება საშვილოსნოს ტანის სიმსივნეებით დაავადებულთა სისხლში

1. საკონტროლო ჯგუფი

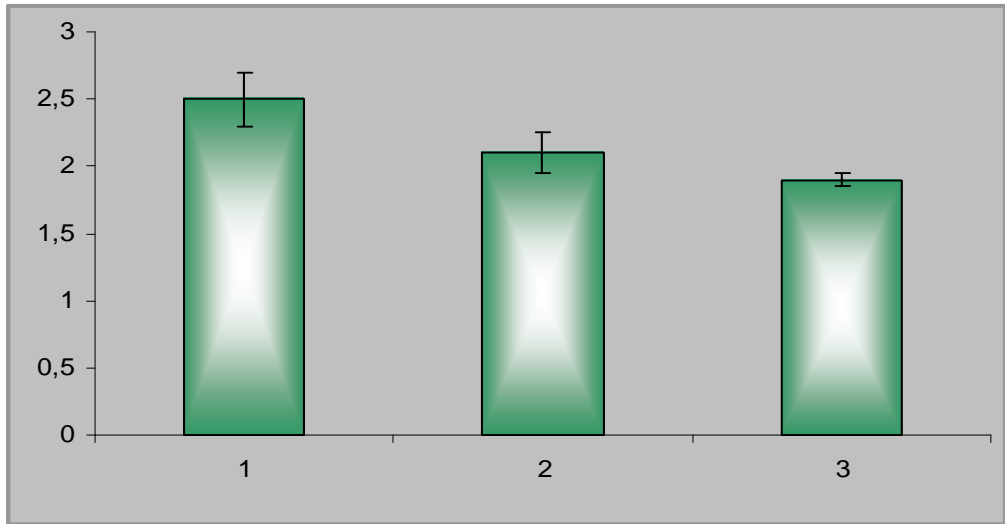
2. საშვილოსნოს ტანის კეთილთვისებიანი სიმსივნე

3. საშვილოსნოს ტანის ავთვისებიანი სიმსივნე



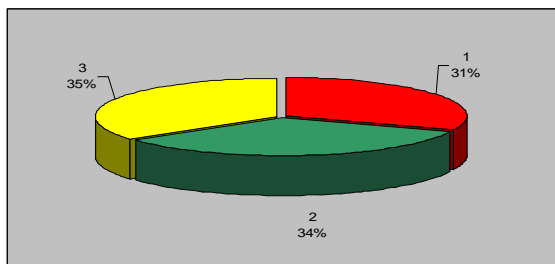
სურ. 22 ლიპიდების საერთო რაოდენობის ცვლილება საშვილოსნოს ტანის სიმსივნეებით დაავადებულთა სისხლში

1. საკონტროლო ჯგუფი
2. საშვილოსნოს ტანის კეთილთვისებიანი სიმსივნე
3. საშვილოსნოს ტანის ავთვისებიანი სიმსივნე

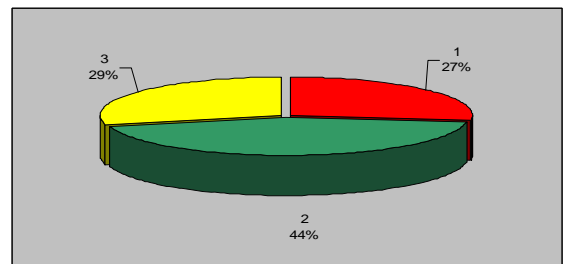


სურ. 23 ფოსფოლიპიდების საერთო რაოდენობის ცვლილება საშვილოსნოს ტანის სიმსივნეებით დაავადებულთა სისხლში

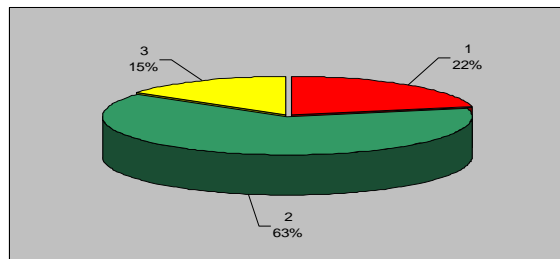
1. საკონტროლო ჯგუფი
2. საშვილოსნოს ტანის კეთილთვისებიანი სიმსივნე
3. საშვილოსნოს ტანის ავთვისებიანი სიმსივნე



ა

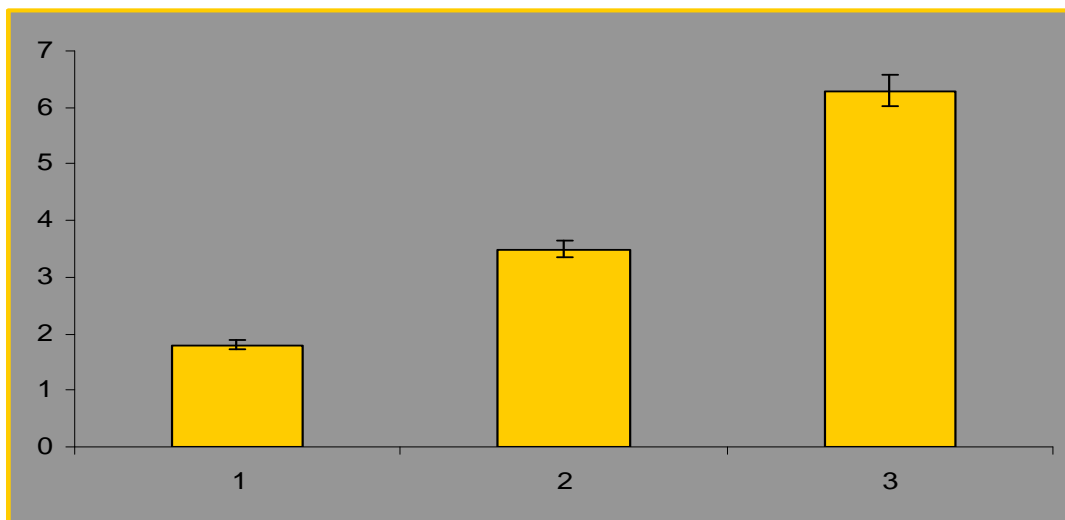


ბ



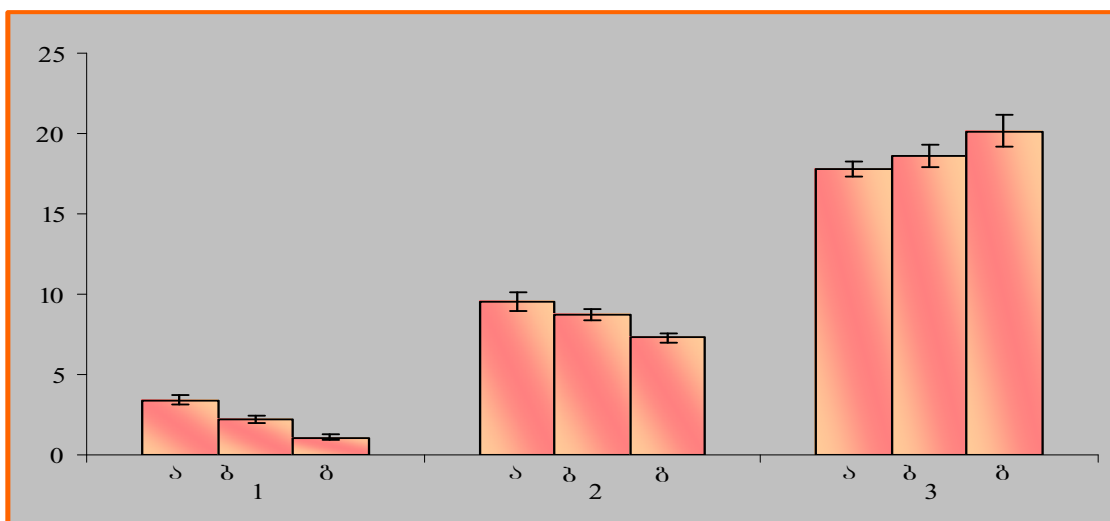
გ

სურ.24 ამინოშემცველი (1), ქოლინშემცველი (2) ფოსფოლიპიდების პროცენტული რაოდენობა საკონტროლო ჯგუფის (ა), საშვილოსნოს ტანის კეთილთვისებიანი (ბ), საშვილოსნოს ტანის ავთვისებიანი სიმსივნით დაავადებული ქალების სისხლის ლიპიდების საერთო რაოდენობაში



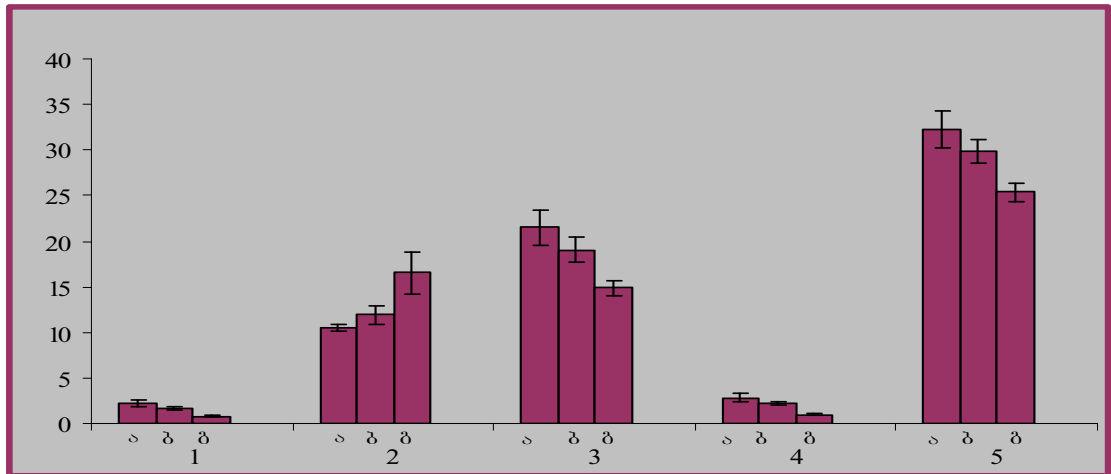
სურ. 25 ქოლესტეროლის რაოდენობრივი ცვლილება საშვილოსნოს ტანის სიმსივნეებით დაავადებულთა სისხლში

1. საკონტროლო ჯგუფი
2. საშვილოსნოს ტანის კეთილთვისებიანი სიმსივნე
3. საშვილოსნოს ტანის ავთვისებიანი სიმსივნე



სურ. 26 ნაჯერი ცხიმოვანი მჟავების სპექტრის ცვლილება საშვილოსნოს ტანის სიმსივნეებით დაავადებულთა სისხლში

- | | |
|----------------------|--|
| 1. მირისტინის მჟავა. | ა. საკონტროლო ჯგუფი. |
| 2. პალმიტინის მჟავა. | ბ. საშვილოსნოს ტანის კეთილთვისებიანი სიმსივნე. |
| 3. სტეარინის მჟავა. | გ. საშვილოსნოს ტანის ავთვისებიანი სიმსივნე. |

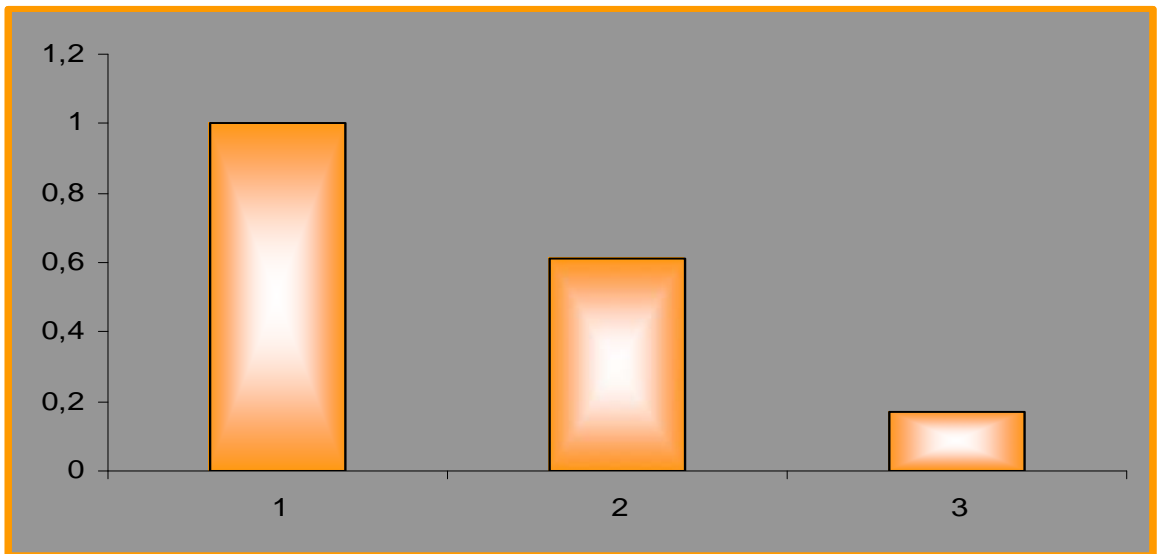


სურ. 27 უჯერი ცხიმოვანი მჟავების სპექტრის ცვლილება საშვილოსნოს ტანის სიმსივნეებით დაავადებულთა ქალების სისხლში

- | | |
|-----------------------|--|
| 1. ოლეინის მჟავა. | ა. საკონტროლო ჯგუფი. |
| 2. ლინოლის მჟავა. | ბ. საშვილოსნოს ტანის კეთილთვისებიანი სიმსივნე. |
| 3. ლინოლენის მჟავა. | გ. საშვილოსნოს ტანის ავთვისებიანი სიმსივნე. |
| 4. ეიკოტრიენის მჟავა. | |
| 5. არაჟიდონის მჟავა. | |

სურ. 28 საშვილოსნოს ტანის სიმსივნეებით დაავადებული ქალების სისხლის პლაზმის ცილების ელექტროფორეზი 10-25 % გრადიენტთან პოლიაკრილამიდის გელში დისოცირებულ პირობებში

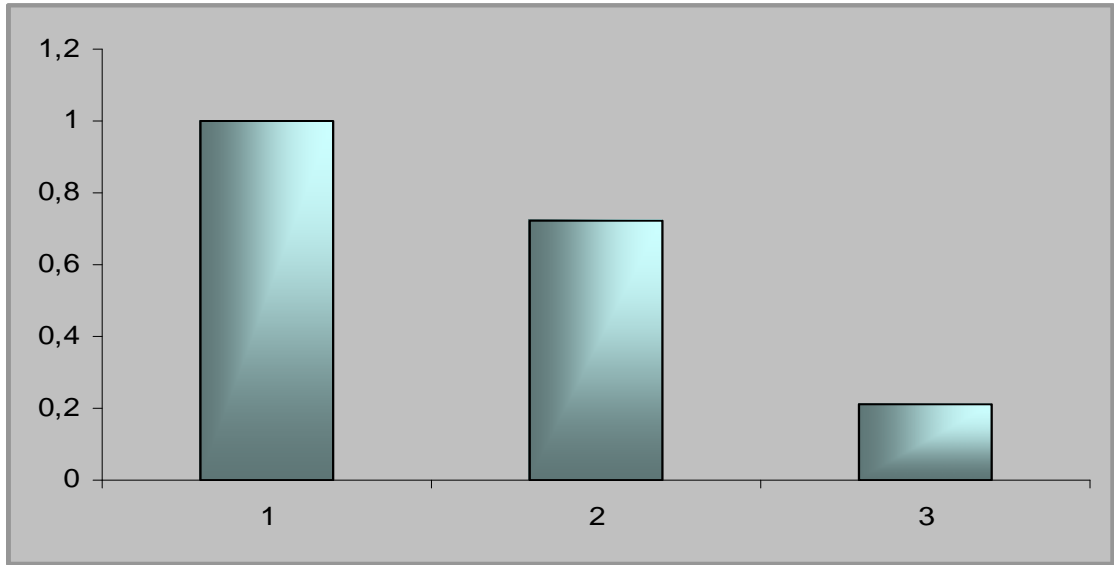
- ა. საკონტროლო ჯგუფის სისხლის პლაზმის ცილების ელექტროფორეგრამა
- ბ. კეთილთვისებიანი სიმსივნით დაავადებულთა სისხლის პლაზმის ცილების ელექტროფორეგრამა
- გ. ავთვისებიანი სიმსივნით დაავადებულთა სისხლის პლაზმის ცილების ელექტროფორეგრამა
- დ. სტანდარტული ცილების ნაკრები: ფოსფორილაზა (94 KD), ალბუმინი (67 KD), ოვალბუმინი (43 KD), კარბონჰიდრაზა (30 KD), ტრიფსინის ინჰიბიტორი (20.1 KD) (LMW, Sigma)



სურ. 29 ფერმენტ სუპეროქსიდდისმუტაზას აქტივობის ცვლილება საშვილოსნოს ტანის სიმსივნეებით დაავადებულთა სისხლში

- 1. საკონტროლო ჯგუფი
- 2. საშვილოსნოს ტანის კეთილთვისებიანი სიმსივნე

3. საშვილოსნოს ტანის ავთვისებიანი სიმსივნე

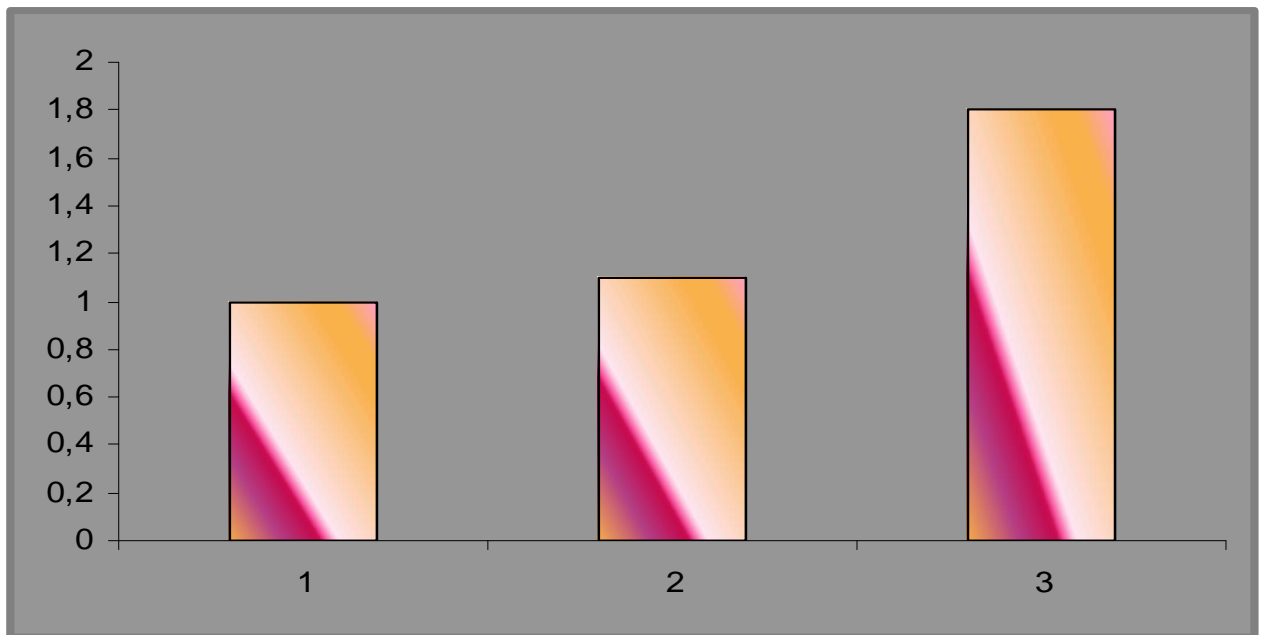


სურ. 30 ფერმენტ კატალაზას აქტივობის ცვლილება საშვილოსნოს ტანის სიმსივნეებით დაავადებულთა სისხლში

1. საკონტროლო ჯგუფი

2. საშვილოსნოს ტანის კეთილთვისებიანი სიმსივნე

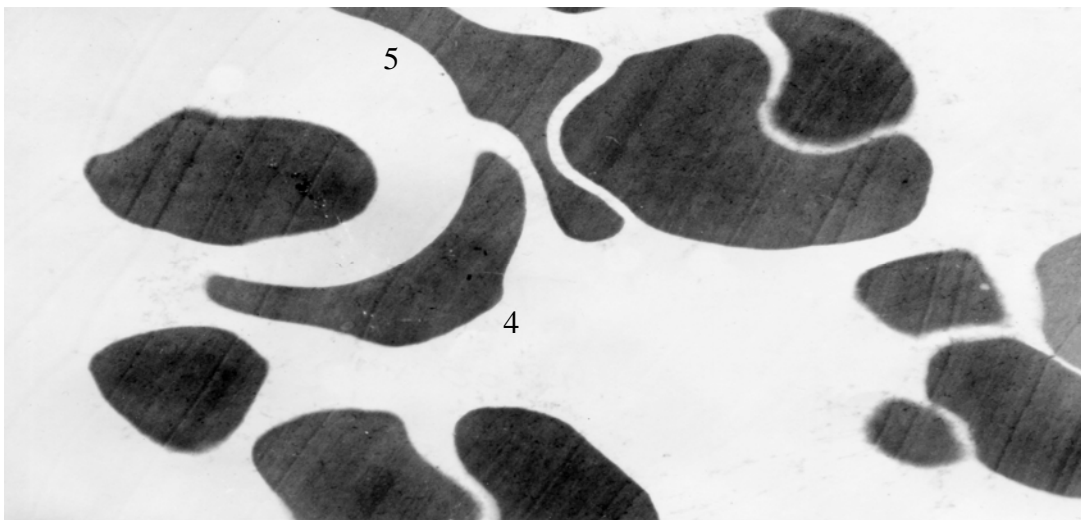
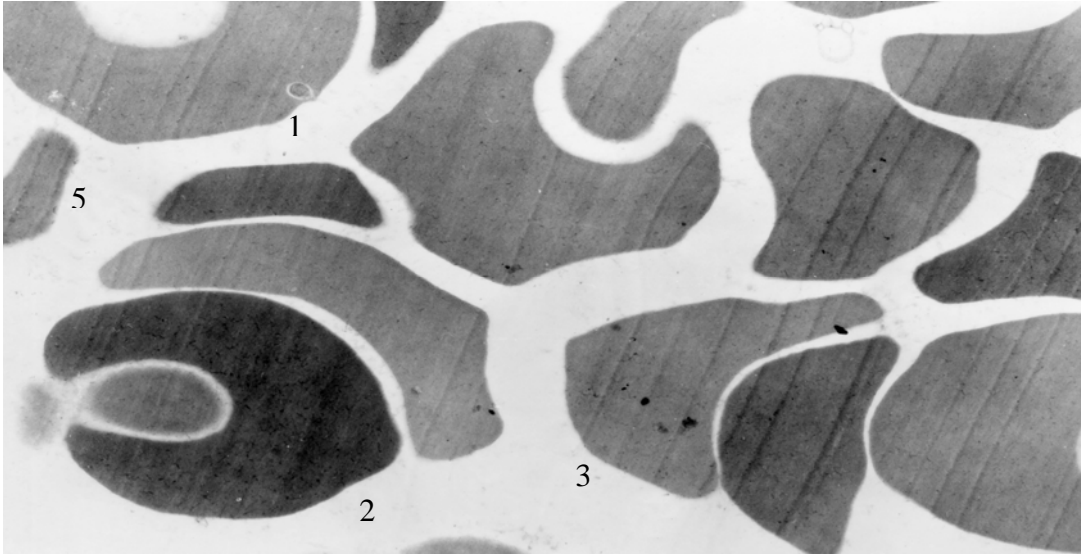
3. საშვილოსნოს ტანის ავთვისებიანი სიმსივნე



სურ. 31 ფერმენტ მჟავა ფოსფატაზას აქტივობის ცვლილება საშვილოსნოს ტანის

სიმსივნეებით დაავადებულთა სისხლში

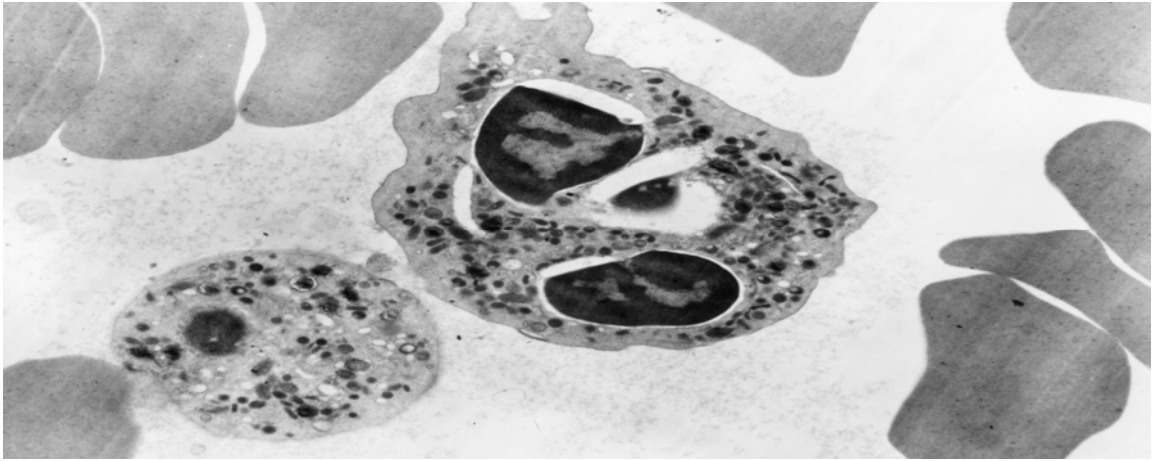
1. საკონტროლო ჯგუფი
2. საშვილოსნოს ტანის კეთილთვისებიანი სიმსივნე
3. საშვილოსნოს ტანის ავთვისებიანი სიმსივნე



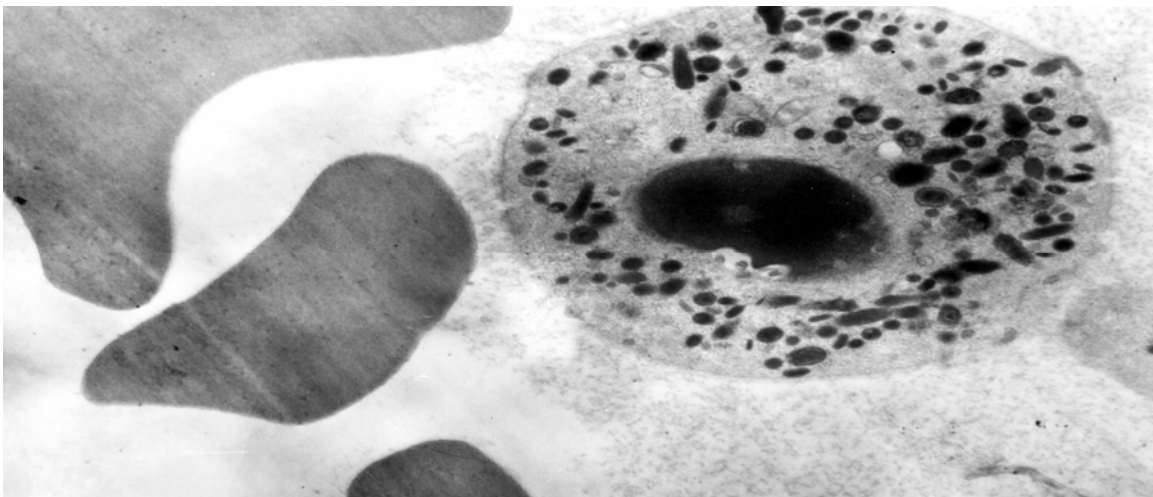
სურ. 32 საშვილოსნოს ტანის სიმსივნეებით დაავადებული პაციენტების
ეროთროციტები (პათოლოგიური ფორმები)

1. სამიზნისებრი ფორმის

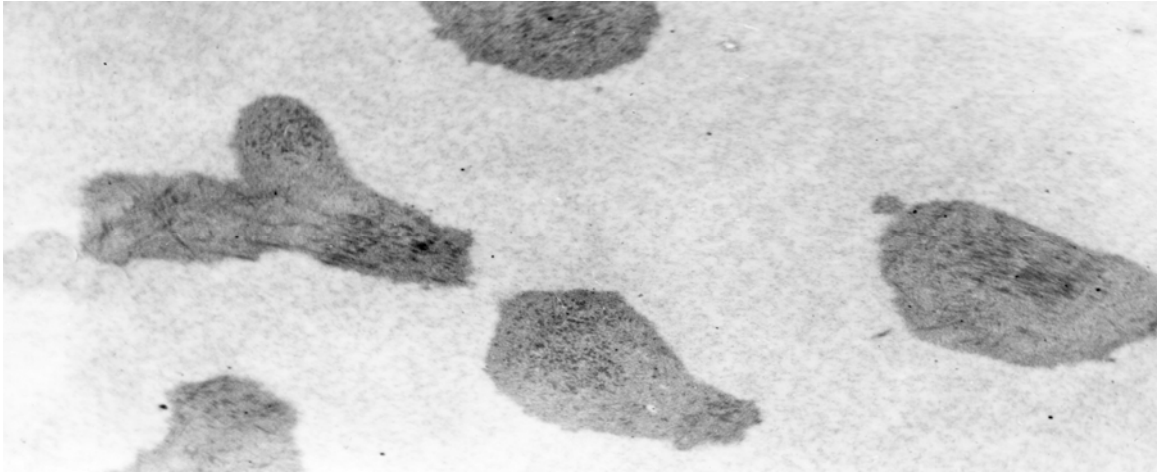
2. მუზარადისმაგვარი ფორმის
3. ცრემლისებური ფორმის
4. ნამგლისებური ფორმის
5. შიზოციტი



ა

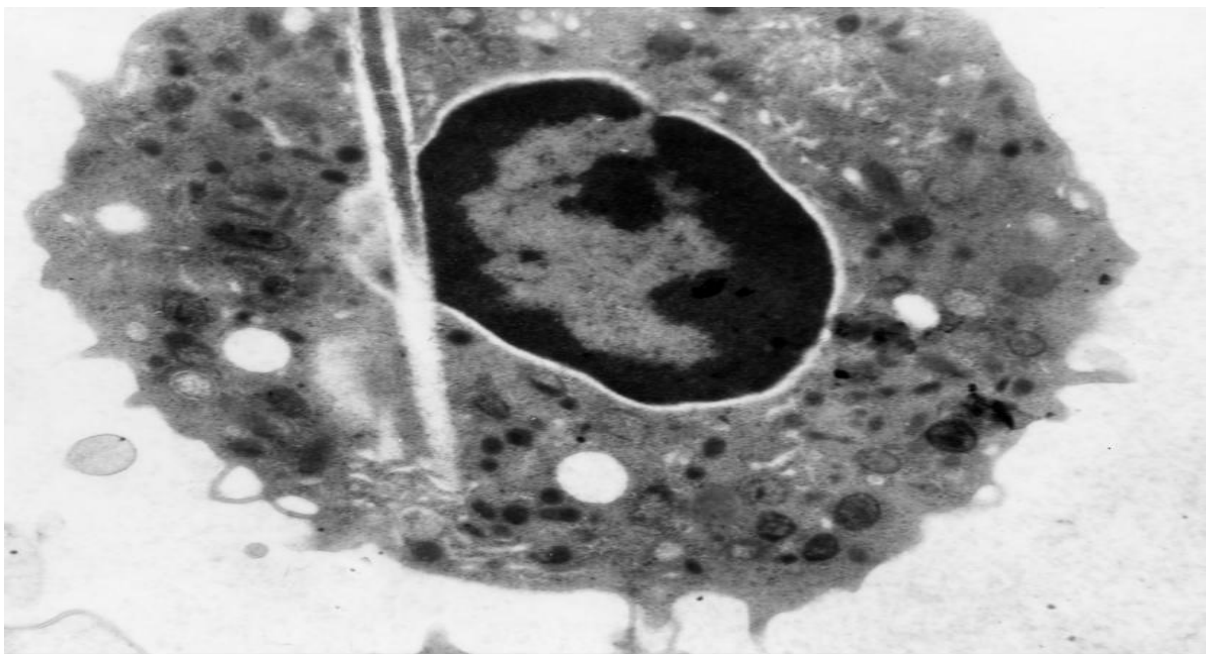


ბ

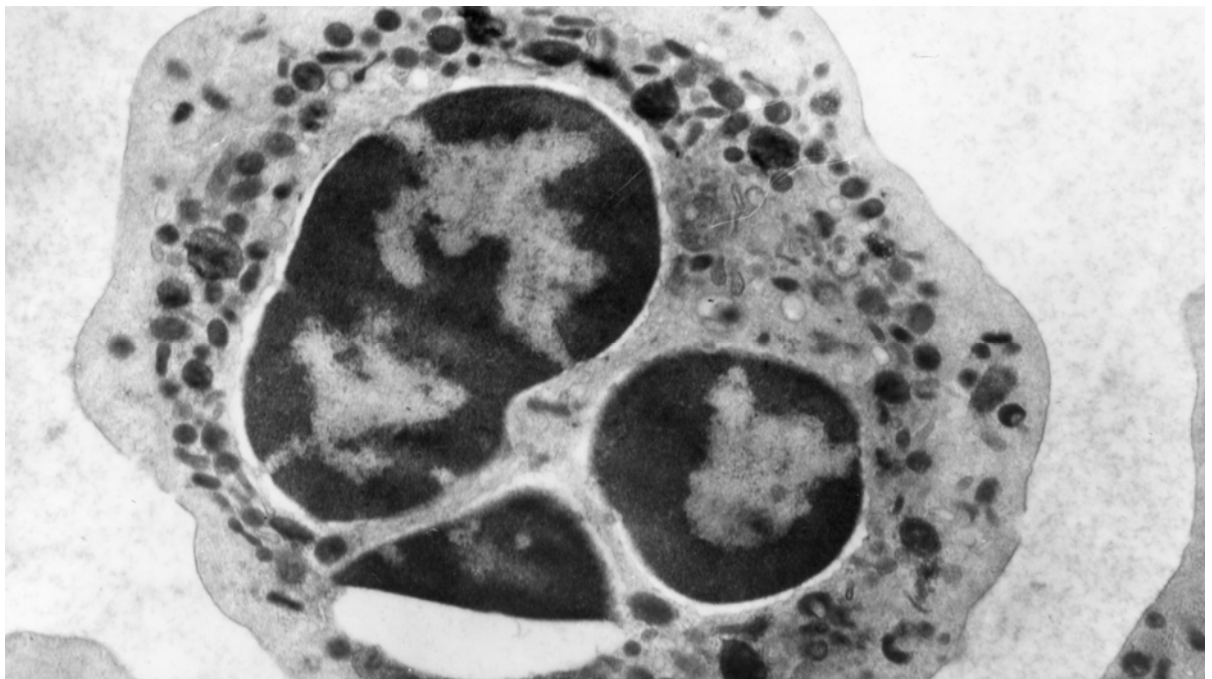
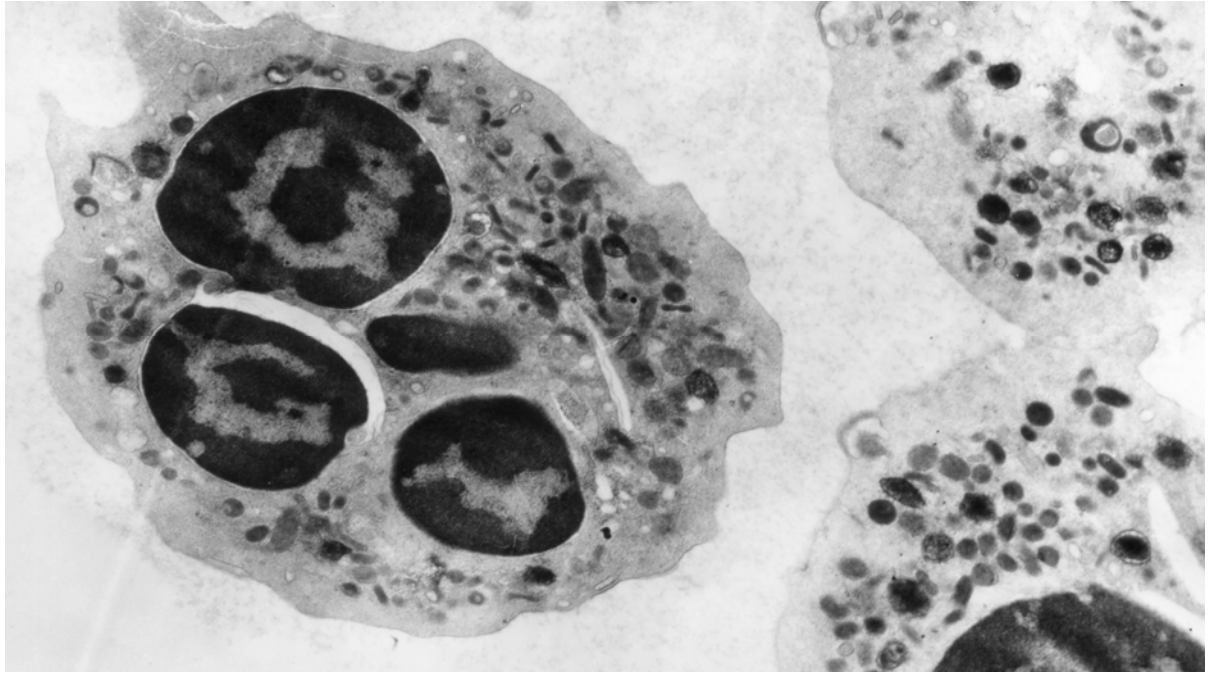


ბ

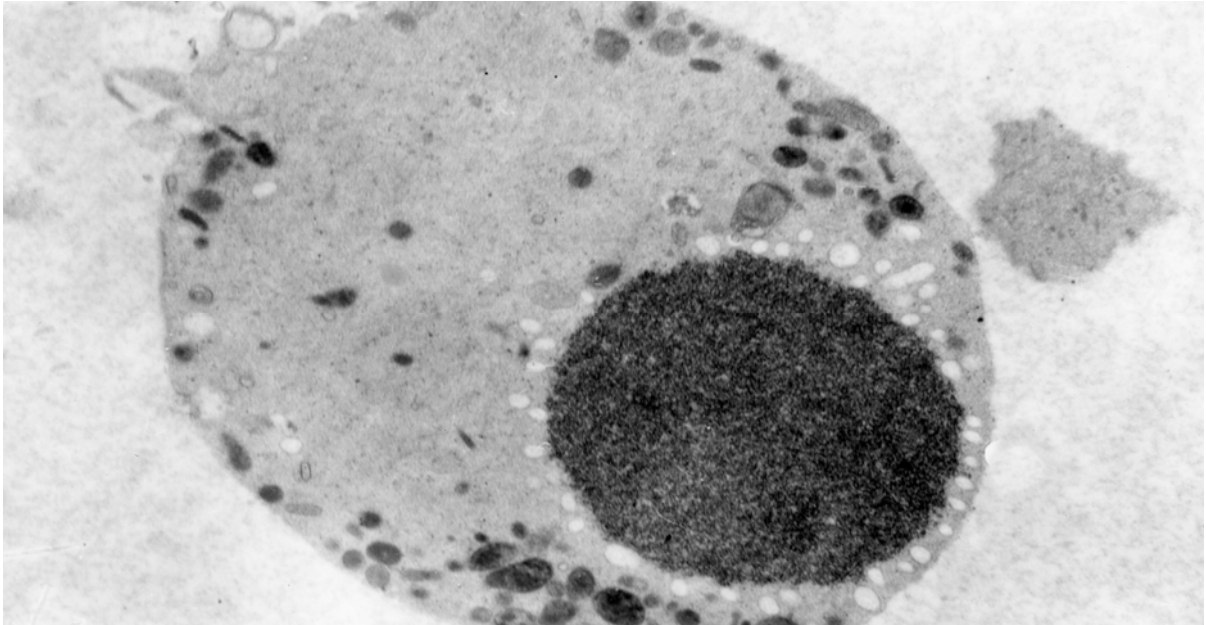
სურ. 33 საშვილოსნოს ავთვისებიანი სიმსივნით დაავადებული პაციენტების
ერითროციტები _ მაკროციტები (ა), მეგალოციტები (ბ),
შიზოციტები (გ)



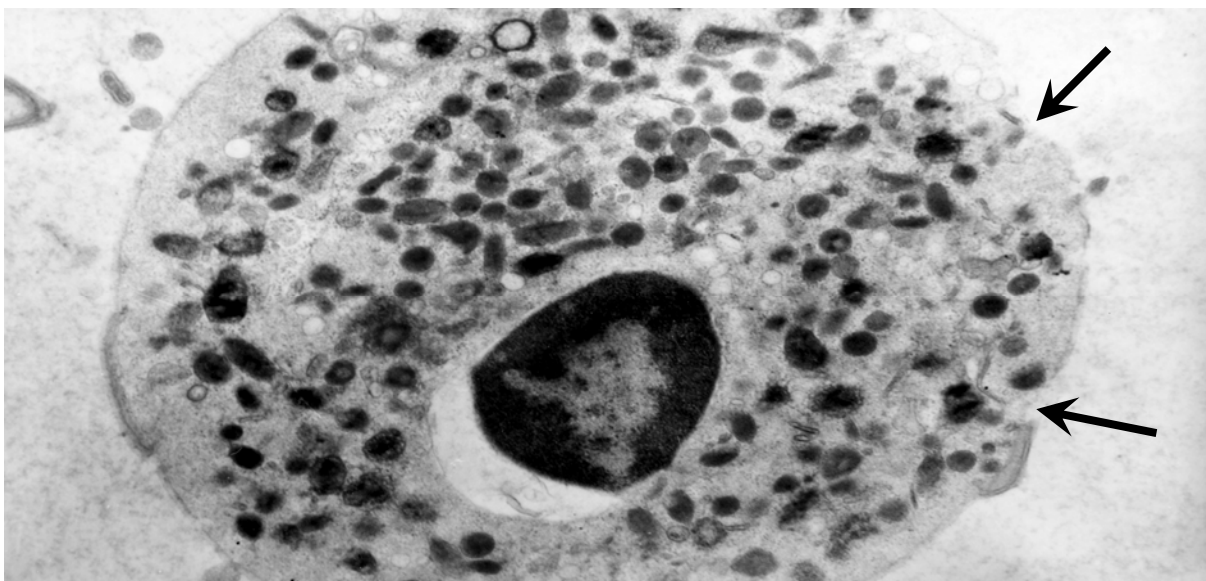
სურ. 34 საშვილოსნოს ტანის კეთილთვისებიანი სიმსივნით დაავადებული
პაციენტების ნეიტროფილი



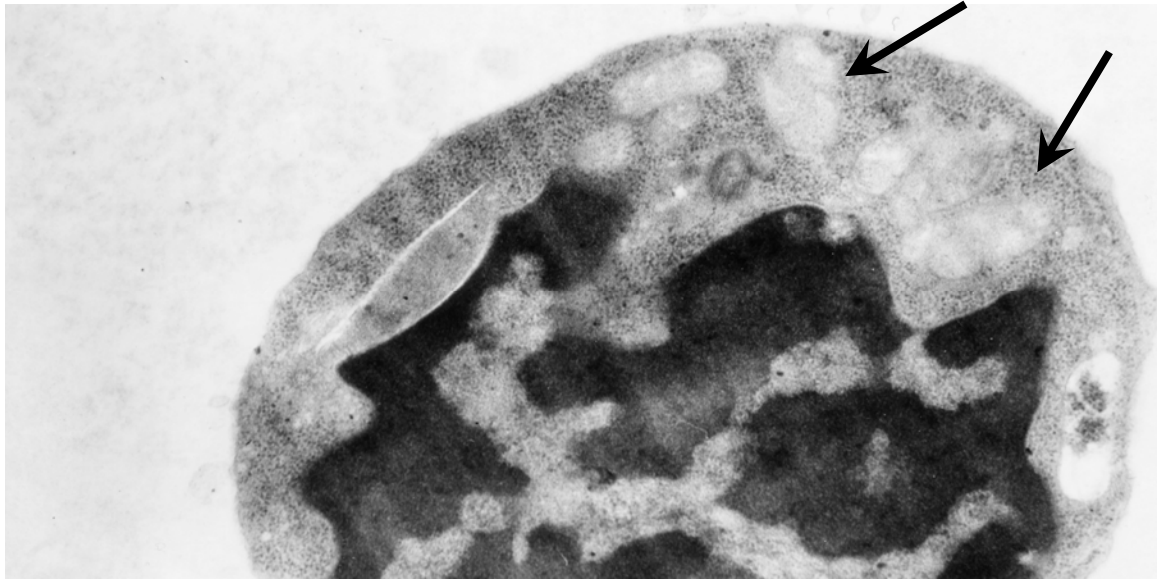
სურ. 35 საშვილოსნოს ტანის ავთვისებიანი სიმსივნით დაავადებული პაციენტების
ნეოტროფილები



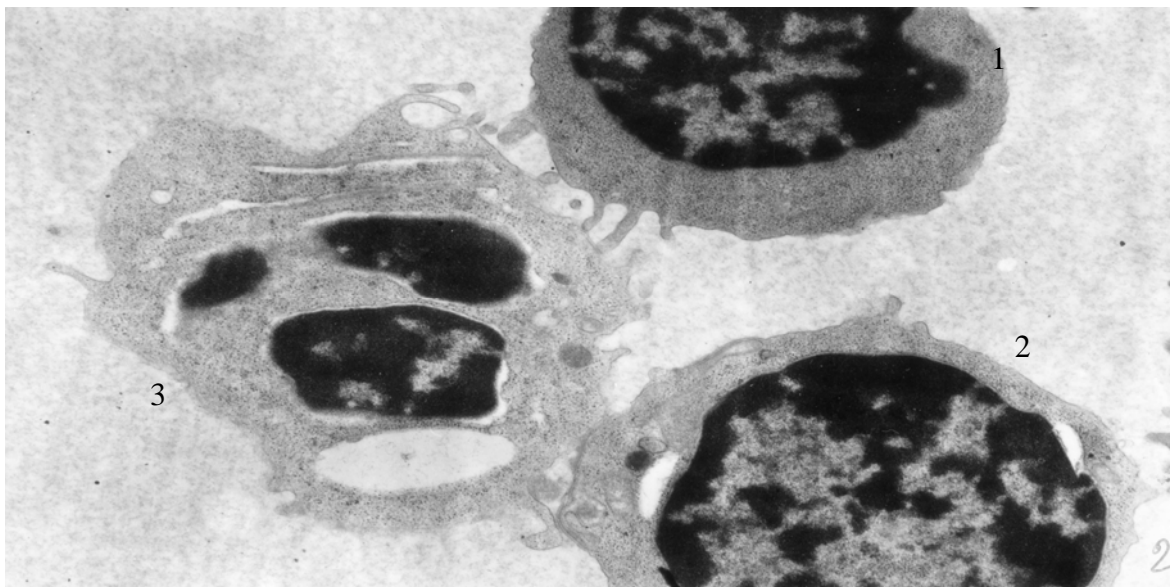
სურ. 36 საშვილოსნოს ტანის ავთვისებიანი სიმსივნით დაავადებული პაციენტების ნეიტროფილი პიკნოზური ბირთვით და გამორეცხილი ციტოპლაზმით



სურ. 37 საშვილოსნოს ტანის ავთვისებიანი სიმსივნით დაავადებული პაციენტების ნეიტროფილის ციტოპლაზმაში მიმდინარე დეგენერაციული ცვლილებები (დარღვეულია პლაზმოლემის მთლიანობა)



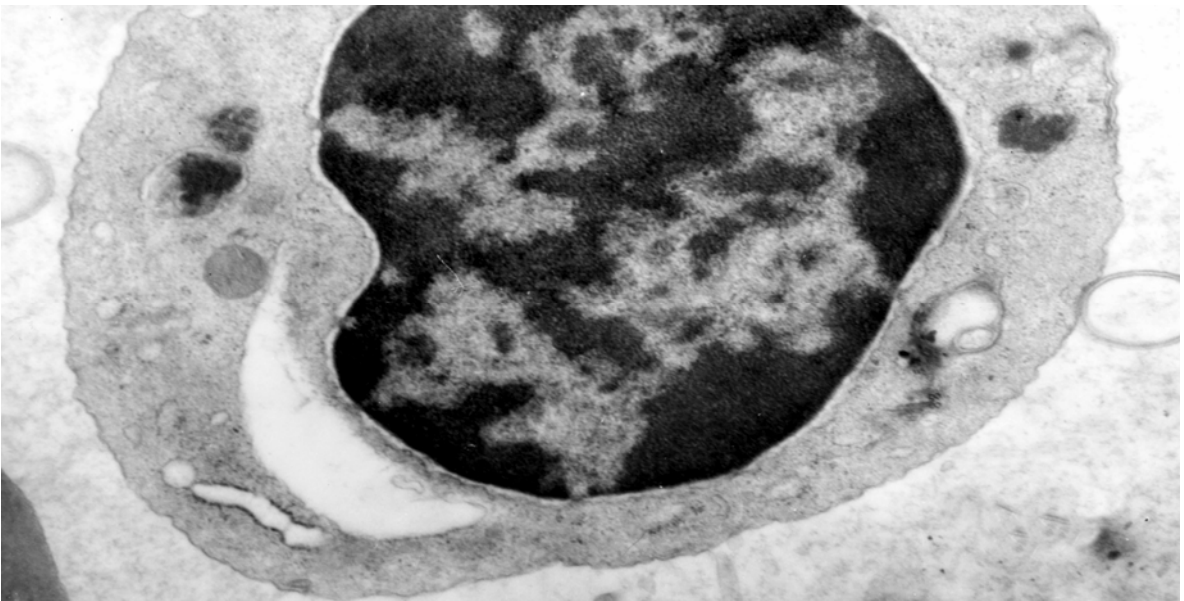
სურ. 38 საშვილოსნოს ტანის კეთილთვისებიანი სიმსივნით დაავადებული პაციენტების ლიმფოციტი მრავალრიცხოვანი ძირითადად გამორეცხილი მატრიქსის მქონე მიტოქონდრიებით



სურ. 39 საშვილოსნოს ტანის კეთილთვისებიანი სიმსივნით დაავადებული პაციენტების ლიმფოციტები (2 _ B ლიმფოციტი; 3 _ აპოპტოზის მსგავსი სურათი, უჯრედშორისი ციტოპლაზმური კონტაქტები ხიდაკებით, პლაზმურ მემბრანაზე მცირე ზომის წანაზარდები)

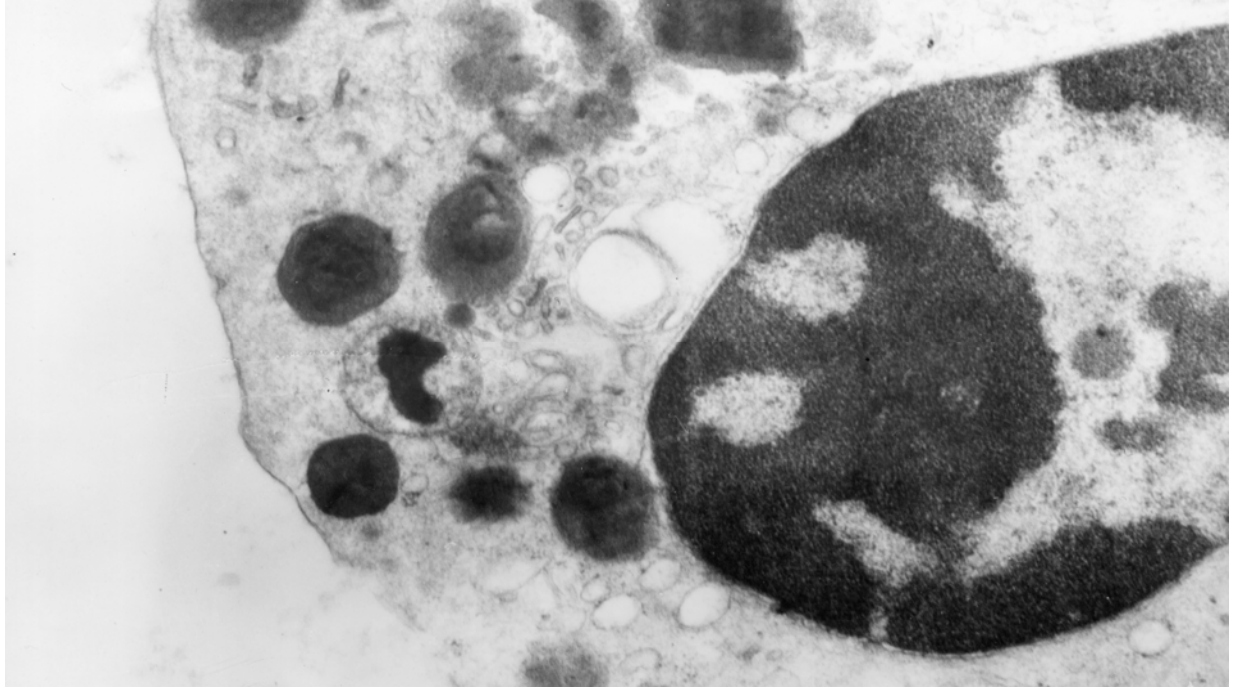


ა

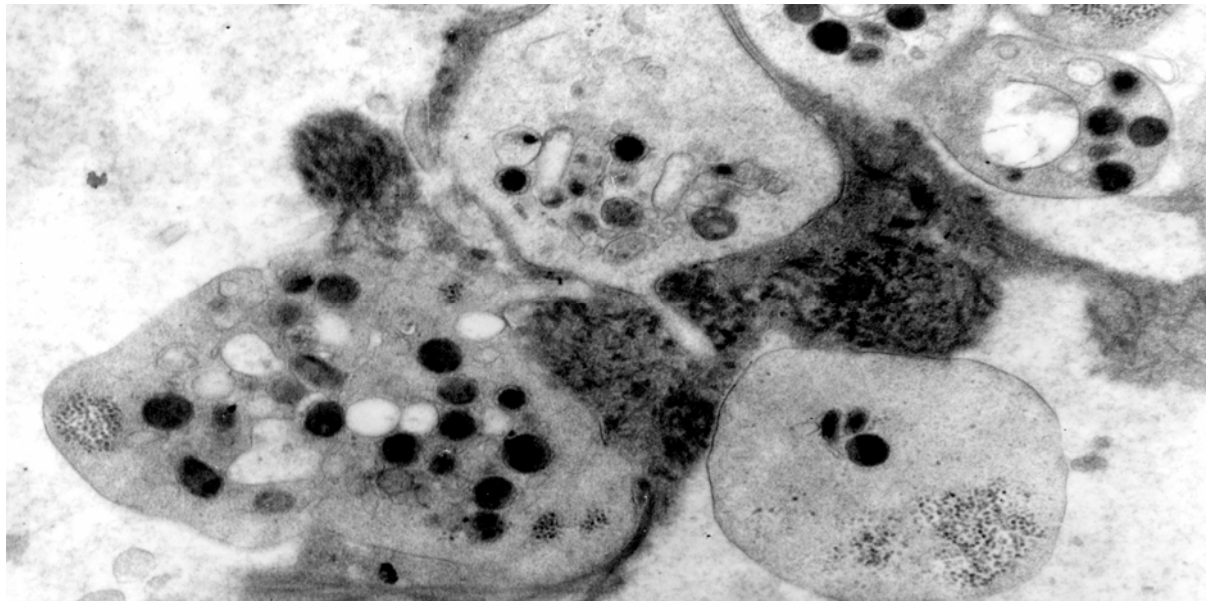
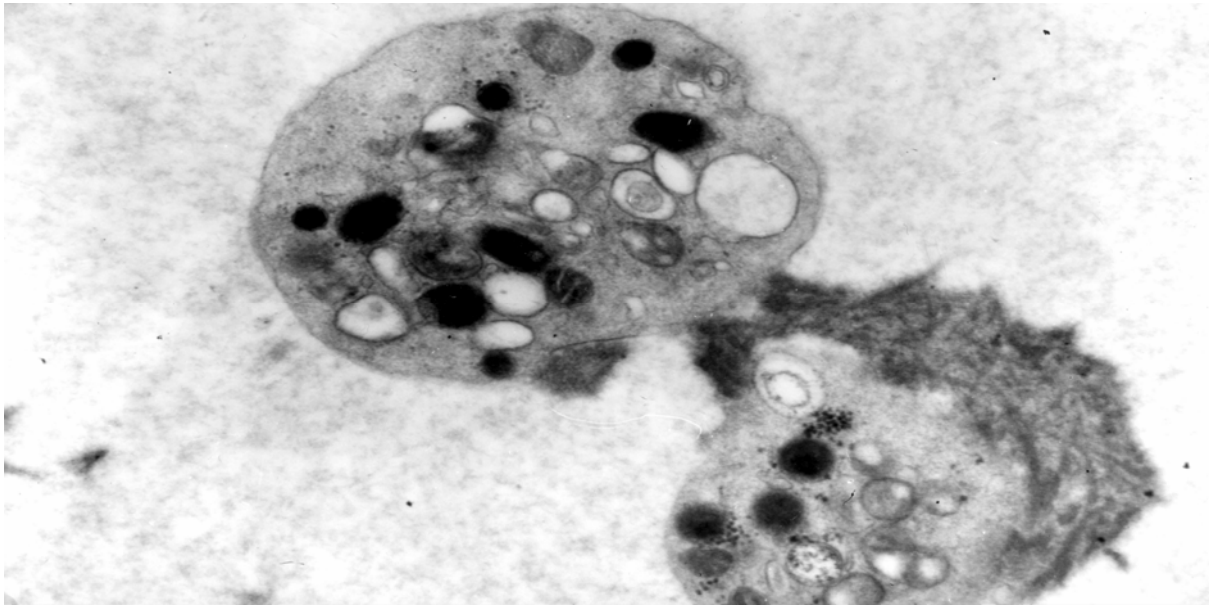


ბ

სურ. 40 საშვილოსნოს ტანის ავთვისებიანი სიმსივნით დაავადებული პაციენტების
ლიმფოციტები
(მსხვილი ბირთვებით, პლაზმურ მემბრანაზე მცირე ზომის წანაზარდებით)



სურ. 41 საშვილოსნოს ტანის ავთვისებიანი სიმსივნით დაავადებული პაციენტების
ლიმფოციტი _ ბუნებრივი ქილერი (NK)



სურ. 42 საშვილოსნოს ტანის ავთვისებიანი სიმსივნით დაავადებული პაციენტების
თრომბოციტები